

SEGUNDO CATALOGO CIRCULO MERIDIANO SAN JUAN (FKSZ)

R.A. CARESTIA y M. GALLEG0

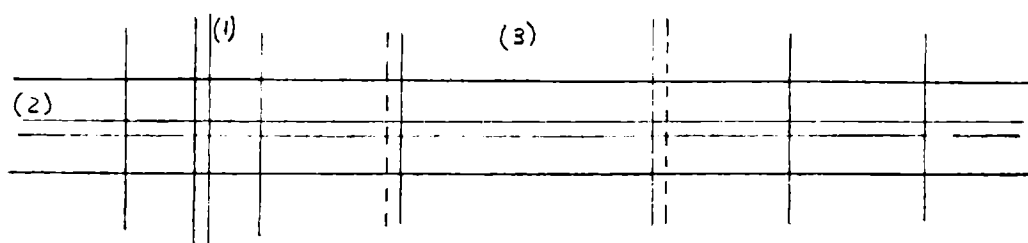
Observatorio Astronómico Félix Aguilar (U.N.S.J.)

PREFACIO:

Este catálogo fue observado con el Círculo Meridiano Reversible que se opera en el Observatorio Astronómico "Félix Aguilar", de la Universidad Nacional de San Juan. Contiene 617 estrellas del Catálogo Original recibido del Departamento de Astronomía de la Universidad de Chile denominado FKSZ (Fundamental Katalog Slabí Zbiozp). Las estrellas están distribuidas en la zona $+30^\circ$ a -90° en declinación. Las observaciones, se iniciaron en agosto de 1975 y se terminaron en noviembre de 1977 con un total de 2949 pasajes en Ascension Recta y de 2864 pasajes en Declinación. El promedio del error cuadrático medio en ascension recta de una observación es de 0 $^{\circ}021$ y de 0 $^{\circ}39$ en declinación.

INSTRUMENTOS Y ACCESORIOS

Círculo Meridiano Reversible: Construido por A. Repsold & Sohne, con un objetivo de 190 mm. de diámetro y 2,25 m de distancia focal; posee dos círculos graduados de 74 cms. de diámetro divididos de 4 en 4 minutos y leídos a través de cuatro microscopios colocados en el tambor del lado Este, de modo que para la posición Freno al Este, se trabaja con el círculo denominado A de platino iridiado, y para la posición Freno al Oeste, con el círculo B de plata. Los microscopios están provistos de dos pares de hilos de biseción, separados 1,5 rotaciones. El ocular está provisto de un micrómetro impersonal de ascención recta movido por un sincro-motor cuya velocidad es regulada según la declinación de la estrella, por un integrador diferencial ajustable por control remoto (sistema construido por el U.S. Naval Observatory). También posee un micrómetro de declinación con un doble hilo móvil. Los demás hilos del campo son fijos, (figura 1).



(1) doble hilo móvil de A.R. (2) doble hilo móvil de Dec. !(3)! campo toma de tiempos

Fig. 1

Cronógrafo y Reloj: Los tiempos fueron registrados con un Cronógrafo Inscriptor marca Hermann Wetzer K.G. comandado por un reloj de cuarzo marca Rohde & Schwarz tipo C.A.Q.A. de tiempo sidéreo.

PLAN GENERAL DE OBSERVACION

El FKSZ se dividió en cuatro zonas de observación para su mejor vinculación con el FK4, a saber:

ZONA N₂: Estrellas comprendidas entre +30° y 0° en declinación.

ZONA N₁: Estrellas comprendidas entre 0° y -31°5 en declinación.

ZONA S₁: Estrellas comprendidas entre -31°5 y -60°0 en declinación.

ZONA S₂: Estrellas comprendidas entre -60°0 y -90°0 en declinación.

Los programas de observación tenían una duración de 4 hs. aproximadamente y constaban de unas 40 estrellas discriminadas de la siguiente manera:

12 estrellas FK4 en la zona de observación.

6 estrellas FK4 ecuatoriales entre + 16°0 en declinación (tres y tres simétricas respecto al Ecuador).

2 estrellas polares en culminación superior.

2 estrellas polares en culminación inferior.

10 estrellas FKSZ de la zona.

Un mismo programa fue observado, en general, con freno al Este Círculo A y con freno al Oeste Círculo B.

DETERMINACION DE CONSTANTES INSTRUMENTALES

Constantes periódicas: El valor de la rotación del micrómetro de ascension recta (450710), y del micrómetro de declinación (18°3), el run y el eje promedio de tiempo se determinaron por los métodos clásicos, los dos últimos quincenalmente.

La flexión fue determinada por el método de los colimadores horizontales opuestos, dando como resultado promedio, cero.

Para el error de trazo se usaron los valores que obtuvo el astrónomo Dr. Meade L. Zimmer en el año 1914 y que figuran en "Resultados del Observatorio Nacional Argentino", volumen 35, Observatorio de Córdoba. En 1974 se hizo un nuevo estudio de los trazos, de grado en grado, por el Método de las Rosetas y no se encontraron variaciones significativas.

Constantes diarias: La determinación del eje sin colimación, inclinación y punto cenital, se efectuó antes y después de cada serie de observación, tomando para la colimación e inclinación el promedio de ambas determinaciones; para el punto cenital se interpoló en función del tiempo entre el valor del comienzo y del final de la serie.

La determinación del eje sin colimación, se hizo por inversión del instrumento sobre dos colimadores horizontales opuestos; cada determinación se realizó con el promedio de cuatro series de 10 biseciones a los colimadores.

La inclinación b, se determinó en función de la colimación y de las lecturas con el micrómetro de ascención recta al espejo nadiral de mercurio.

El punto cenital se obtuvo, adicionando al promedio de las 10 lecturas del micrómetro de declinación sobre el espejo nadiral de mercurio, el promedio de las 8 lecturas al círculo corregidas por error de trazo y run.

METODO OBSERVACIONAL

Toma de Tiempos: El sector fijo para la toma de tiempos es la indicada en Fig. 1. El tiempo de paso fue el promedio de 20 tops tomados electromecánicamente en puntos fijos del sector, mediante el micrómetro impersonal comandado por el motor-drive.

Lectura a la estrella en Declinación: En cada pasaje se hicieron biseciones a la estrella con el micrómetro de declinación, simétricas respecto al hilo sin colimación, cuyo promedio corregido por error de curvatura se adicionó al promedio de las ocho lecturas hechas en forma visual sobre el círculo, corregidas por error de trazo, run y flexión. Para cada pasaje se tomó la temperatura al décimo de grado centígrado, en un termómetro colocado a la altura del objetivo.

REDUCCION EN ASCENCION RECTA

Reducción Preliminar: Se usó la fórmula de Hansen

$$\tau = b \sec \gamma + n (\tan \delta - \tan \gamma) + c \sec \delta$$

obteniéndose la A.R. preliminar observada (α_0) como

$$\alpha_0 = \theta + \Delta\theta + \tau$$

la constante n de Bessel, se obtuvo como promedio de los valores arrojados por las estrellas FK4 polares, (2 en culminación superior y 2 en culminación inferior) combinadas individualmente con una estrella ecuatorial dentro de la misma serie.

La colimación c se obtuvo como diferencia de la lectura correspondiente al eje sin colimación y el eje promedio de toma de tiempo incluyendo el efecto de aberración diurna.

$\Delta\theta$ es el promedio de la corrección del reloj arrojados por las estrellas ecuatoriales FK4 de la serie.

La inclinación b se determinó en base al baño nadiral de mercurio en la forma explicada anteriormente.

La ascension recta calculada (α_c) es la aparente calculada en base al procedimiento de "Scott and Hughes" partiendo del catálogo FK4 1950.0 y del catálogo FKSZ 1950.0 provisto por el Departamento de Astronomía de la Universidad de Chile.

Para todas las estrellas observadas en una serie se obtuvo

$$(O - C)' = \alpha_0 - \alpha_c$$

Reducción al Sistema FK4: Los $(O-C)'$ de las estrellas FKSZ fueron reducidos al sistema FK4 en base a las estrellas FK4 zonales según la expresión

$$(O-C) = (O-C)' - \overline{(O-C)'}_z - p(\sec \delta - \overline{\sec \delta}_z)$$

$\overline{(O-C)'}_z$ = promedio de los $(O-C)'$ preliminares de las estrellas zonales FK4

$\overline{\sec \delta}_z$ = promedio de $\sec \delta$ de las estrellas zonales FK4.

El coeficiente p se determinó aplicando una solución por mínimos cuadrados al sistema de ecuaciones dado por las estrellas FK4 zonales:

$$p(\sec \delta_z - \overline{\sec \delta}_z) = (O-C)'_z - \overline{(O-C)'}_z$$

REDUCCION EN DECLINACION

Reducción Preliminar: La distancia cenital medida a la estrella, fue obtenida como diferencia entre la lectura al cenit y la lectura a la estrella como se indicó anteriormente y fue corregida por refracción usando la fórmula de Pulkovo.

En base a una latitud media fija y a la distancia cenital corregida, se calculó una declinación preliminar (α_0), tanto para las estrellas FKSZ como para las estrellas FK4 de la zona observada en la misma serie. Se obtuvieron las diferencias $(O-C)'$ entre esta declinación preliminar y la declinación aparente (δ_c) calculada como se indicó para α_c :

$$(O-C)' = \delta_0 - \delta_c$$

Reducción al Sistema FK4: A los $(O-C)'$ de las estrellas FKSZ, se sustraio el promedio de los $(O-C)'$ de las estrellas FK4 zonales, obteniéndose

$$(O-C) = (O-C)' - \overline{(O-C)'}_z$$

CATALOGO

Los valores $(O-C)$ R.A. y $(O-C)$ D consignados en el catálogo para cada estrella son el promedio de los $(O-C)$ de todas las observaciones individuales hechas con ambos frenos y ambos círculos graduados. El error medio cuadrático fue calculado con las diferencias entre ese promedio y cada uno de los valores individuales. Fundamentamos este proceder, porque en general todas las observaciones individuales de una estrella fueron repartidas por igual entre ambos frenos y ambos círculos.

EQUIPO DE OBSERVACION

Las personas que en algún momento compusieron el equipo de observación, son las siguientes: R.A. Carestia, G.G. Gutiérrez, D.H. Garay, W.L. Castro, R.E. Orrego, M. Gallego, R. Jakowczyk, M.A. Montoya, A. Rocher, R. Herrera y E.R. Galarza.

EXPLICACION

| <u>Columna</u> | <u>Denominación</u> | <u>Significado</u> |
|----------------|------------------------|--|
| 1 | FKSZ NUMBER | Número de estrellas dado por el Catálogo Original enviado por el Departamento de Astronomía de la Universidad de Chile. |
| 2 | ORIGINAL R.A.1950.0 | Ascension recta media 1950.0 del Catálogo Original en horas, minutos y segundos. |
| 3 | ORIGINAL DEC.1950.0 | Declinación media 1950.0 del Catálogo Original en grados, minutos y segundos. |
| 4 | PM(R.A.) | Movimiento propio secular 1950.0 en ascension recta del Catálogo Original en segundos de tiempo. |
| 5 | PM(D) | Movimiento propio secular 1950.0 en declinación del Catálogo Original en segundos de arco. |
| 6 | (O-C) R.A. | Corrección a la ascension recta del Catálogo Original FKSZ en el sistema FK4, en segundos de tiempo para la época media de observación. |
| 7 | ME .001 | Error medio cuadrático reducido al Ecuador, $\epsilon_{\alpha} \cos \delta$, de la posición del Catálogo computado con la desviación de cada observación, respecto a la media aritmética en segundos de tiempo, $\epsilon_{\alpha} = \sqrt{v^2 / (n * (n-1))}$. |
| 8 | N | Número de observaciones en ascension recta. |
| 9 | EPOCH 1900+ | Epoch media de las observaciones en ascension recta. |
| 10 | (O-C) D | Corrección a la declinación del Catálogo Original FKSZ en el sistema FK4 en segundos de arco para la época media de observación. |

EXPLICACION

| Columna | Denominación | Significado |
|---------|----------------|--|
| 11 | ME .01 | Error medio cuadrático, ϵ_δ , de la posición del Catálogo, computado con la desviación de cada observación respecto a la media aritmética en segundos de arco, $\epsilon_\delta = \sqrt{\{v^2/(n*(n-1))\}}$. |
| 12 | N | Número de observaciones en declinación. |
| 13 | EPOCH 1900+ | Epoca media de las observaciones en declinación. |

EXPLANATION

| Column | Denomination | Meaning |
|--------|------------------------|---|
| 1 | FKSZ NUMBER | Star number as given by Original Catalogue send by Departamento de Astronomía, Universidad de Chile. |
| 2 | ORIGINAL R.A.1950.0 | Mean right ascension 1950.0 Original Catalogue in hours, minutes and seconds. |
| 3 | ORIGINAL DEC.1950.0 | Mean declination 1950.0 Original Catalogue en degree, minutes and seconds. |
| 4 | PM(R.A.) | Centennial proper motion in right ascension 1950.0 Original Catalogue in seconds of time. |
| 5 | PM(D) | Centennial proper motion in declination 1950.0 Original Catalogue in seconds of arc. |
| 6 | (O-C) R.A. | Correction in right ascension to the FKSZ Original Catalogue in the FK4 System in seconds of time, at mean epoch observation. |
| 7 | ME .001 | Mean square error reduced to Equator, $\epsilon_\alpha \cos \delta$, of the position of the Catalogue computed with the desviations of each observation towards arithmetic mean in seconds of time, $\epsilon_\alpha = \sqrt{v^2/(n*(n-1))}$. |
| 8 | N | Number of right ascension observations. |
| 9 | EPOCH 1900+ | Mean epoch of the right ascension observations. |
| 10 | (O-C) D | Correction in declination to the FKSZ Original Catalogue in the FK4 System in seconds of arc, at mean epoch observation. |
| 11 | ME .01 | Mean square error, ϵ_δ , of the position of the Catalogue, computed with the desviation towards arithmetic mean in seconds of arc, $\epsilon_\delta = \sqrt{v^2/(n*(n-1))}$. |

EXPLANATION

| Column | Denomination | Meaning |
|--------|----------------|--|
| 12 | N | Number of declinations observations. |
| 13 | EPOCH 1900+ | Mean epoch of declinations observations. |

| μ | δ | α | β | γ | $\delta\alpha$ | $\delta\beta$ | $\delta\gamma$ | $\delta\alpha\beta$ | $\delta\beta\gamma$ | $\delta\alpha\gamma$ | $\delta\alpha\beta\gamma$ | $\delta\alpha\beta\gamma\delta$ |
|-------|----------|----------|---------|----------|----------------|---------------|----------------|---------------------|---------------------|----------------------|---------------------------|---------------------------------|
| 00124 | 4.12 | -4.496 | -7.2 | 31 | 2.311 | 3.311 | -1.017 | -7.2.310 | 4 | 12.32 | 1.2.311 | 1.2.311 |
| 00125 | 4.16 | 4.62.622 | -3.35 | 6.18 | 3.4.620 | 3.4.620 | 0.000 | 3.4.620 | 3 | 16.417 | 3 | 16.417 |
| 00126 | 3.17 | 1C.626 | -1 | 1 | 3.0.32 | 3.0.32 | 1.012 | 3.0.32 | 3 | 16.42 | 2 | 16.42 |
| 00127 | 3.15 | 3.6271 | -6C.49 | 2.31 | 3.0.032 | 3.0.032 | 0.003 | 3.0.032 | 3 | 16.43 | 1.2 | 16.43 |
| 00128 | 3.21 | 6.525 | 1.9 | 9.3 | 6.2.229 | 6.2.229 | 0.001 | 6.2.229 | 3 | 16.44 | 1.6 | 16.44 |
| 00129 | 3.24 | 4.6216 | -7C.89 | 2.729 | 3.0.034 | 3.0.034 | 0.001 | 3.0.034 | 3 | 16.45 | 1.7 | 16.45 |
| 00130 | 3.28 | -3.6213 | -1.6 | 3.6 | 3.7.0.321 | 3.7.0.321 | 0.001 | 3.7.0.321 | 3 | 16.46 | 1.3 | 16.46 |
| 00131 | 3.30 | 4.6225 | 1.4 | 3.6 | 3.6.0.24 | 3.6.0.24 | 2.010 | 3.6.0.24 | 3 | 16.47 | 1.4 | 16.47 |
| 00132 | 3.31 | 2.7.513 | -6C.52 | 4.3.626 | -1.3.34 | 1.3.34 | 0.007 | -1.3.34 | 3 | 16.48 | 1.0 | 16.48 |
| 00133 | 3.35 | 6.2.2.6 | -3.2 | 5.6 | 3.3.3.38 | 3.3.3.38 | 2.020 | 3.3.3.38 | 3 | 16.49 | 1.1 | 16.49 |
| 00134 | 3.36 | 1.4.524 | -77 | 15 | 8.66 | 8.66 | 0.442 | 8.66 | 3 | 16.50 | 1.2 | 16.50 |
| 00135 | 3.44 | 1.816 | -3.8 | 44 | 1.6.77 | 1.6.77 | -0.114 | 1.6.77 | 3 | 16.51 | 1.2 | 16.51 |
| 00136 | 3.47 | 3.1.222 | -7.3 | 13 | 3.39.31 | 3.39.31 | 1.013 | 3.39.31 | 3 | 16.52 | 3 | 16.52 |
| 00137 | 3.49 | 2.5.645 | -7.6 | 34 | 3.5.76 | 3.5.76 | 0.064 | 3.5.76 | 3 | 16.53 | 0.2 | 16.53 |
| 00138 | 3.52 | 4C.102 | -1.5 | 3 | 4.66 | 4.66 | 0.013 | 4.66 | 3 | 16.54 | 4 | 16.54 |
| 00139 | 3.54 | C.622 | 2 | 54 | 4.9.01 | 4.9.01 | 0.327 | 4.9.01 | 3 | 16.55 | 2.6 | 16.55 |
| 00140 | 3.55 | 2.8.591 | -79 | 56 | 2.66 | 2.66 | 0.021 | 2.66 | 3 | 16.56 | 0.11 | 16.56 |
| 00141 | 3.57 | 4.5.111 | 1.3 | 43 | d.26 | d.26 | -0.232 | d.26 | 3 | 16.57 | 0.29 | 16.57 |
| 00142 | 3.58 | 2.1.596 | -73 | 31 | 2.2.29 | 2.2.29 | -1.014 | 2.2.29 | 4 | 16.58 | 0.35 | 16.58 |
| 00143 | 4.1 | 1.6.415 | -6C.0 | 31.10 | -0.64.9 | -0.64.9 | 2.010 | -0.64.9 | 3 | 16.59 | 0.44 | 16.59 |
| 00144 | 4.2 | 3.2.2.25 | 2 | 11 | 3.3.54 | 3.3.54 | -1.012 | 3.3.54 | 3 | 16.60 | 0.51 | 16.60 |
| 00145 | 4.2 | 4.6.4... | 17 | 6. | 1.6.55 | 1.6.55 | -1.010 | 1.6.55 | 3 | 16.61 | 1.0 | 16.61 |
| 00146 | 4.3 | 1.5.2.5 | -21 | 29 | 1.5.68 | 1.5.68 | 0.004 | 1.5.68 | 3 | 16.62 | 1.1 | 16.62 |
| 00147 | 4.6 | 1C.627 | 27 | 13 | 3.624 | 3.624 | 1.022 | 3.624 | 3 | 16.63 | 1.5 | 16.63 |
| 00148 | 4.23 | 1.6.225 | -65 | 50 | 1.0.39 | 1.0.39 | 0.310 | 1.0.39 | 0 | 17.01 | 0 | 17.01 |
| 00149 | 4.27 | 1.6.624 | 1.6 | 3 | *0.27 | *0.27 | 0.213 | *0.27 | 0 | 17.02 | 0 | 17.02 |
| 00150 | 4.27 | 4.1.2.66 | -72 | 44 | 3.2.13 | 3.2.13 | -0.220 | 3.2.13 | 2 | 17.03 | 1.17 | 17.03 |
| 00151 | 4.28 | 1.6.622 | -65 | 25 | 2.6.95 | 2.6.95 | 0.020 | 2.6.95 | 2 | 17.04 | 1.17 | 17.04 |
| 00152 | 4.31 | 4.6245 | -35 | 98 | 1.6.67 | 1.6.67 | 0.132 | 1.6.67 | 0 | 17.05 | 2.8 | 17.05 |
| 00153 | 4.35 | 4.6.2.26 | -51 | 36 | 2.3.40 | 2.3.40 | 0.065 | 2.3.40 | 0 | 17.06 | 0 | 17.06 |
| 00154 | 4.36 | 3.6.112 | -22 | 0 | 3.2.2.25 | 3.2.2.25 | 0.137 | 3.2.2.25 | 3 | 17.07 | 1.17 | 17.07 |
| 00155 | 4.38 | 3.6.626 | -3 | 13 | 3.9.79 | 3.9.79 | -0.093 | 3.9.79 | 3 | 17.08 | 1.11 | 17.08 |
| 00156 | 4.41 | 2.4.1.2 | -41 | 59 | 4.5.71 | 4.5.71 | 1.017 | 4.5.71 | 3 | 17.09 | 1.2 | 17.09 |
| 00157 | 4.45 | 2.6.842 | 7 | 42 | 1.0.14 | 1.0.14 | 0.004 | 1.0.14 | 3 | 17.10 | 0.47 | 17.10 |
| 00158 | 4.46 | 1.3.2.6 | 28 | 12 | 2.2.2.29 | 2.2.2.29 | 0.103 | 2.2.2.29 | 3 | 17.11 | 0.54 | 17.11 |
| 00159 | 4.51 | 4.4.35 | -65 | 29 | 4.2.2.2 | 4.2.2.2 | -0.027 | 4.2.2.2 | 3 | 17.12 | 1 | 17.12 |
| 00160 | 4.51 | 1.6.621 | 17 | 21 | 1.6.62 | 1.6.62 | 0.116 | 1.6.62 | 3 | 17.13 | 0 | 17.13 |
| 00161 | 4.57 | 3.1.184 | -10 | 25 | 4.0.84 | 4.0.84 | 0.002 | 4.0.84 | 3 | 17.14 | 1.0 | 17.14 |
| 00162 | 4.57 | 2.6.621 | 25 | 41 | 3.6.62 | 3.6.62 | 1.013 | 3.6.62 | 3 | 17.15 | 1.1 | 17.15 |
| 00163 | 4.59 | 2.9.621 | -44 | 20 | 41.21 | 41.21 | 0.070 | 41.21 | 3 | 17.16 | 1 | 17.16 |

TABLA DE LOS COEFICIENTES DE CORRECCIÓN DEL PLANISFERIO (FRAN)

| GRADOS | MINUTOS | SEGUNDOS | DÍGITO | SEGUNDO DÍGITO | TERCER DÍGITO | CUARTO DÍGITO | QUINTO DÍGITO | SEXTO DÍGITO | SEPTIMO DÍGITO | OCTAVO DÍGITO | NONA DÍGITO |
|--------|---------------|--------------|--------|----------------|---------------|---------------|---------------|--------------|----------------|---------------|-------------|
| 00624 | 16 16 45.442 | -62 26 57.65 | -1.039 | 0.0890 | -1.039 | 0.0890 | 5 | 16.61 | -1.039 | 16 | 5 |
| 00625 | 16 16 45.304 | 2 59 21.97 | 0.0655 | -0.0655 | 0.0655 | -0.0655 | 5 | 16.55 | -0.0655 | 49 | 3 |
| 00631 | 16 22 0.211 | -4 11 14.33 | 0.1110 | 0.1110 | 0.1110 | 0.1110 | 4 | 16.55 | 0.1110 | 47 | 4 |
| 00633 | 16 25 52.288 | -32 17 52.50 | 0.0 | -2.02 | 0.0 | -2.02 | 3 | 16.60 | 2.02 | 21 | 3 |
| 00634 | 16 26 7.436 | 15 27 27.20 | -0.026 | -0.026 | -0.026 | -0.026 | 4 | 16.60 | 0.026 | 7 | 2 |
| 00635 | 16 30 42.143 | -42 27 42.91 | -1.017 | -1.017 | -1.017 | -1.017 | 5 | 16.62 | 1.017 | 0.41 | 2 |
| 00636 | 16 34 51.124 | -6 2 49.24 | 0.052 | -0.052 | 0.052 | -0.052 | 5 | 16.67 | -0.052 | 46 | 3 |
| 00637 | 16 34 28.616 | -44 12 4.41 | 0.123 | 0.123 | 0.123 | 0.123 | 5 | 16.66 | -0.123 | 44 | 3 |
| 00638 | 16 36 1.125 | 0 44 15.40 | -0.057 | -0.057 | 0.057 | -0.057 | 5 | 16.62 | -0.057 | 41 | 5 |
| 00639 | 16 37 4.346 | -61 42 22.77 | -0.007 | -0.007 | 0.007 | -0.007 | 5 | 16.61 | -0.007 | 4 | 4 |
| 00641 | 16 38 -29.666 | -35 44 27.14 | -0.077 | -0.077 | 0.077 | -0.077 | 4 | 16.45 | -0.077 | 40 | 4 |
| 00642 | 16 41 12.416 | 6 42 43.57 | -0.027 | -0.027 | 0.027 | -0.027 | 3 | 16.55 | -0.027 | 38 | 3 |
| 00643 | 16 46 25.571 | 44 17 50.17 | 0.077 | 0.077 | 0.077 | 0.077 | 3 | 16.55 | 0.077 | 36 | 4 |
| 00645 | 16 51 48.252 | 16 55 57.74 | -0.032 | -0.032 | 0.032 | -0.032 | 4 | 16.55 | -0.032 | 49 | 3 |
| 00649 | 16 54 38.492 | -40 16 22.03 | 0.002 | -0.002 | 0.002 | -0.002 | 4 | 16.55 | -0.002 | 48 | 4 |
| 00652 | 16 56 55.951 | -15 55 47.47 | 0.153 | -0.153 | 0.153 | -0.153 | 5 | 16.51 | 0.153 | 30 | 5 |
| 00654 | 17 36.745 | -42 15 16.35 | 0.263 | -0.263 | 0.263 | -0.263 | 5 | 16.55 | 0.263 | 52 | 2 |
| 00655 | 17 1 5.564 | 25 32 56.20 | 0.010 | 0.010 | 0.010 | 0.010 | 4 | 16.52 | -0.010 | 11 | 4 |
| 00656 | 17 3 55.56 | -25 30 32.00 | -0.005 | -0.005 | 0.005 | -0.005 | 5 | 16.51 | -0.005 | 21 | 3 |
| 00657 | 17 3 42.657 | 5 15 4.00 | 0.124 | -0.124 | 0.124 | -0.124 | 4 | 16.55 | 0.124 | 36 | 4 |
| 00658 | 17 5 16.113 | -46 2 19.54 | 0.073 | -0.073 | 0.073 | -0.073 | 5 | 16.82 | 0.073 | 15 | 2 |
| 00660 | 17 5 13.254 | -23 12 29.70 | 0.021 | -0.021 | 0.021 | -0.021 | 7 | 17.02 | -0.021 | 51 | 2 |
| 00662 | 17 1 15.824 | -12 29 57.10 | 0.025 | 0.025 | 0.025 | 0.025 | 7 | 16.61 | -0.025 | 35 | 4 |
| 00663 | 17 11 54.495 | -26 59 47.20 | -0.041 | -0.041 | -0.041 | -0.041 | 4 | 16.95 | 0.041 | 41 | 6 |
| 00665 | 17 12 5.552 | 14 57 59.43 | 0.047 | -0.047 | 0.047 | -0.047 | 4 | 17.30 | -0.047 | 55 | 3 |
| 00667 | 17 13 44.335 | -2 41 24.36 | 0.004 | -0.004 | 0.004 | -0.004 | 4 | 16.45 | -0.004 | 46 | 4 |
| 00668 | 17 17 25.491 | 24 52 54.00 | -0.017 | -0.017 | 0.017 | -0.017 | 4 | 17.30 | -0.017 | 37 | 1 |
| 00669 | 17 19 58.574 | 5 37 1.37 | -0.017 | -0.017 | 0.017 | -0.017 | 4 | 17.30 | -0.017 | 40 | 5 |
| 00670 | 17 22 1.556 | -44 44 8.47 | 0.02 | -0.02 | 0.02 | -0.02 | 4 | 17.30 | -0.02 | 47 | 1 |

| Objeto | Objetivo | Centroide | PM (α₂) | PM (δ) | Extensión | Período | V | Magn. | Periodo | Expon. | W | W' | W'' | |
|--------|--------------|-----------------|---------|--------|-----------|---------|-------|-------|---------|--------|-------|-------|-------|--|
| 00614 | 11 44 56.474 | -01 5 25.29 | 0.000 | 4.443 | 0.000 | ? | 4 | 16.1 | -0.57 | 15 | 4 | 16.1 | | |
| 00615 | 11 44 49.175 | -01 3 25.29 | 0.000 | 3.979 | 0.000 | 11 | 4 | 16.1 | -0.16 | 12 | 4 | 16.01 | | |
| 00616 | 11 25 22.205 | -01 25 35.12 | 0.000 | 1.002 | 0.000 | 12 | 5 | 16.1 | -0.12 | 12 | 5 | 16.01 | | |
| 00617 | 11 30 23.875 | -01 22 16.03 | 0.026 | -1.248 | 0.000 | 5 | 4 | 17.10 | 0.00 | 4 | 4 | 17.01 | | |
| 00618 | 11 32 30.542 | -01 26 30.00 | 0.042 | -1.213 | 0.000 | 16 | 2 | 17.12 | 1.47 | 23 | 2 | 17.03 | | |
| 00619 | 11 34 42.112 | -01 41 40.55 | 0.000 | 0.999 | 0.000 | 5 | 4 | 17.15 | 0.04 | 13 | 4 | 17.15 | | |
| 00620 | 11 37 53.486 | -01 40.24 | 0.000 | -1.029 | 0.000 | 4 | 2 | 16.64 | -0.10 | 10 | 2 | 16.61 | | |
| 00621 | 11 38 21.487 | -01 53.521 | 0.000 | -1.422 | 0.000 | 2 | 16.1 | -0.48 | 17 | 2 | 16.61 | | | |
| 00622 | 11 39 47.431 | -01 5 0.21 | 0.000 | 0.000 | 0.000 | 2 | 17.64 | 0.05 | 26 | 3 | 17.64 | | | |
| 00623 | 11 42 42.321 | -01 0 11 4.16 | 0.000 | 0.010 | 0.000 | 4 | 2 | 16.64 | -0.42 | 10 | 2 | 17.07 | | |
| 00624 | 11 47 4.451 | -01 50 16.38.24 | 0.000 | 0.026 | 1.46 | 0.001 | 5 | 6 | 15.51 | -1.12 | 28 | 6 | 15.51 | |
| 00625 | 11 50 22.306 | -02 14 30.06 | 0.000 | 0.022 | 0.000 | 21 | 4 | 17.12 | -0.06 | 9 | 3 | 16.70 | | |
| 00626 | 11 54 3.761 | -02 14 25.29 | 0.000 | 3.02 | 0.000 | 5 | 5 | 15.86 | 0.74 | 14 | 5 | 15.86 | | |
| 00627 | 11 53 55.006 | -02 15 41.81 | 0.000 | 0.000 | 0.000 | 5 | 5 | 17.04 | -0.12 | 14 | 5 | 17.04 | | |
| 00628 | 11 26 6.446 | -01 14 37.27 | 0.000 | 1.011 | 0.000 | 5 | 6 | 17.16 | -0.35 | 14 | 6 | 17.16 | | |
| 00629 | 11 35 27.642 | -01 35 20.00 | 0.000 | 0.000 | 0.000 | 5 | 6 | 16.66 | -0.52 | 13 | 6 | 16.66 | | |
| 00630 | 11 36 1.374 | -01 0 32 15.00 | 0.000 | 0.000 | 0.000 | 5 | 6 | 16.56 | -1.17 | 12 | 6 | 16.56 | | |
| 00631 | 11 4 42.175 | -01 21 32.41 | 0.000 | 0.000 | 0.000 | 2 | 17.11 | -1.23 | 21 | 2 | 17.11 | | | |
| 00632 | 11 5 1.455 | -01 37 25.04 | 0.000 | 0.000 | 0.000 | 12 | 6 | 17.15 | -0.47 | 22 | 6 | 17.15 | | |
| 00633 | 11 5 22.221 | -01 0 24.000 | 0.000 | 0.000 | 0.000 | 4 | 17.03 | -2.58 | 10 | 6 | 16.96 | | | |
| 00634 | 11 11 46.446 | -01 5 30.00 | 0.000 | 0.000 | 0.000 | 5 | 6 | 17.02 | 0.65 | 13 | 1 | 17.03 | | |
| 00635 | 11 12 5.223 | -01 4 40.32 | 0.000 | 0.000 | 0.000 | 3 | 17.41 | 1.19 | 2 | 16.34 | | | | |
| 00636 | 11 12 44.000 | -01 5 24.00 | 0.000 | 0.000 | 0.000 | 2 | 17.15 | 0.44 | 12 | 6 | 17.15 | | | |
| 00637 | 11 12 44.423 | -01 5 24.00 | 0.000 | 0.000 | 0.000 | 10 | 6.00 | -0.65 | 13 | 6 | 16.00 | | | |
| 00638 | 11 16 55.562 | -01 16 20.00 | 0.000 | 0.000 | 0.000 | 4 | 17.16 | -0.12 | 24 | 4 | 17.16 | | | |
| 00639 | 11 26 30.165 | -01 14 55.00 | 0.000 | 0.000 | 0.000 | 10 | 6.00 | -0.65 | 15 | 6 | 16.00 | | | |
| 00640 | 11 22 37.621 | -01 0 20 40.00 | 0.000 | 0.000 | 0.000 | 5 | 7 | 16.65 | -1.65 | 26 | 7 | 16.65 | | |
| 00641 | 11 25 42.207 | -01 4 7.90 | 0.000 | 0.000 | 0.000 | 10 | 6.00 | -0.26 | 13 | 10 | 16.06 | | | |
| 00642 | 11 25 6.576 | -01 25 7.56.12 | 0.000 | 0.019 | 0.000 | 12 | 6 | 17.01 | 0.31 | 40 | 3 | 16.04 | | |
| 00643 | 11 23 5.056 | -01 16 42.33 | 0.000 | -1.039 | 0.000 | 5 | 6 | 16.44 | -0.64 | 20 | 6 | 16.33 | | |
| 00644 | 11 32 54.645 | -01 15 55.17.64 | 0.034 | -0.015 | -0.619 | 1 | 2 | 17.31 | 0.16 | 14 | 3 | 17.31 | | |
| 00645 | 11 37 17.223 | -01 0 32 47.33 | 0.000 | 0.000 | 0.000 | 6 | 6 | 16.87 | 0.33 | 14 | 0 | 16.87 | | |
| 00646 | 11 36 52.184 | -01 37 0.62 | 0.000 | 0.000 | 0.000 | 6 | 6 | 16.46 | -2.44 | 24 | 6 | 16.46 | | |
| 00647 | 11 36 53.525 | -01 30 20.20 | -0.001 | -0.001 | -0.004 | 9 | 5 | 17.06 | -0.46 | 16 | 5 | 17.06 | | |
| 00648 | 11 42 24.004 | -01 16 24.33 | 0.000 | 0.000 | 0.000 | 4 | 17.18 | 0.64 | 16 | 4 | 17.18 | | | |
| 00649 | 11 44 35.616 | -01 21 36.77 | 0.000 | 0.000 | 0.000 | 11 | 6 | 17.02 | -1.25 | 15 | 6 | 17.02 | | |
| 00650 | 11 44 47.635 | -01 21 39.00 | -0.001 | -0.001 | -0.004 | 2 | 16.46 | -0.46 | 11 | 1 | 17.16 | | | |
| 00651 | 11 45 45.567 | -01 26 1.20 | 0.000 | 0.000 | 0.000 | 12 | 5 | 17.01 | -1.77 | 12 | 5 | 17.01 | | |
| 00652 | 11 53 15.026 | -01 44 22.40 | 0.000 | 0.000 | 0.000 | 10 | 6.00 | 0.22 | 27 | 5 | 16.06 | | | |
| 00653 | 11 53 41.022 | -01 44 22.40 | 0.000 | 0.000 | 0.000 | 10 | 6.00 | 0.22 | 27 | 7 | 16.06 | | | |

| CATALOGO DE ESTRELLAS DEL MUSEO NACIONAL ARGENTINO | | | | | | | | | | | |
|--|--------|----------|---------|---------|----------|---------|---------|----------|---------|---------|----------|
| NUMERO | UNIDAD | DEGRADOS | DECIMOS | MINUTOS | SEGUNDOS | DECIMOS | MINUTOS | SEGUNDOS | DECIMOS | MINUTOS | SEGUNDOS |
| 00114 | 21 25 | 1.166 | -45 22 | 27.04 | -0.177 | -2.15 | 21.62 | -0.150 | 1.1 | 1 | 16.59 |
| 00172 | 21 27 | 1.545 | -45 22 | 27.32 | -0.011 | -0.01 | 1.15 | -0.015 | 1.0 | 1 | 16.59 |
| 00174 | 21 25 | 1.524 | -45 22 | 27.40 | -0.003 | 0.011 | 1.1 | -0.015 | 1.0 | 1 | 16.53 |
| 00175 | 21 32 | 1.255 | -45 21 | 50.67 | 0.143 | -2.34 | 0.150 | 1.4 | 3 | 17.11 | 1.1 |
| 00179 | 20 35 | 22.74 | -47 14 | 48.91 | -0.049 | -0.042 | 0.012 | 1.4 | 4 | 15.4 | 1.1 |
| 00179 | 21 36 | 58.44 | -43 14 | 31.36 | -0.153 | -0.048 | 0.032 | 1.4 | 4 | 17.24 | 4 |
| 00180 | 21 35 | 1.6.C92 | 41 23 | 1.3.90 | 0.133 | -0.034 | 0.020 | 1.4 | 4 | 17.25 | 2 |
| 00180 | 21 40 | 28.545 | -32 6 | 35.14 | 0.228 | -0.033 | 0.061 | 1.0 | 6 | 17.12 | 6 |
| 00180 | 21 43 | 46.157 | -76 1 | 20.12 | 0.824 | -0.067 | 0.166 | 1.5 | 5 | 16.35 | 6 |
| 00181 | 21 47 | 46.563 | 2 14 | 46.65 | 0.002 | -0.30 | 0.03 | 6 | 7 | 16.95 | 6 |
| 00184 | 21 45 | 4C. ECB | -4 53 | 29.74 | 0.208 | 1.21 | -0.019 | 1.0 | 6 | 16.40 | 6 |
| 00185 | 21 50 | 5C. 625 | -80 46 | 46.29 | -0.120 | 0.12 | 0.196 | 3 | 6 | 16.76 | 2 |
| 00186 | 21 52 | 4.266 | -44 46 | 2.74 | 0.300 | -0.42 | 0.036 | 10 | 5 | 17.15 | 1.1 |
| 00181 | 21 53 | 1.17.28 | 20 12 | 32.51 | 0.100 | 1.30 | 0.023 | 6 | 6 | 16.51 | 5 |
| 00181 | 21 56 | 34.655 | -26 0 | 1.27 | 0.147 | 2.24 | -0.066 | 1.1 | 3 | 15.14 | 3 |
| 00181 | 21 46 | 47.542 | 28 47 | 1.1.54 | 0.051 | -0.026 | 0.009 | 10 | 3 | 15.79 | 1.0 |
| 00181 | 21 41 | 20.148 | -60 26 | 8.62 | 0.050 | -0.157 | 0.151 | 6 | 3 | 17.10 | 2 |
| 00181 | 21 4 | 4C. c66 | -37 27 | 25.27 | -0.078 | 0.137 | 1.2 | 8 | 2 | 16.20 | 2 |
| 00181 | 21 5 | 11.521 | -15 45 | 33.16 | 0.191 | -1.05 | 0.018 | 6 | 6 | 16.57 | 3 |
| 00181 | 21 7 | 25.24 | -76 22 | 2.22 | 0.002 | -0.001 | 0.001 | 1.0 | 1 | 16.41 | 6 |
| 00181 | 21 10 | 1.556 | -7 21 | 46.30 | 0.117 | -0.117 | 0.131 | 5 | 5 | 16.41 | 1.1 |
| 00181 | 21 14 | 1.6.62 | 7 44 | 27.01 | 0.001 | -0.001 | 0.001 | 1.0 | 1 | 16.41 | 1.1 |
| 00182 | 21 12 | 4.2.164 | 1.6 43 | 1.5.02 | 0.004 | -0.004 | 0.004 | 1.2 | 2 | 16.41 | 1.1 |
| 00182 | 21 15 | 5.5.581 | -45 30 | 35.02 | 0.372 | -0.375 | 0.375 | 7 | 5 | 16.39 | 1.0 |
| 00182 | 21 20 | 4.6.415 | -61 44 | 0.00 | 0.010 | -0.011 | 0.011 | 4 | 4 | 16.25 | 4 |
| 00182 | 21 25 | 34.666 | -75 25 | 20.00 | 0.010 | -0.115 | 0.115 | 6 | 6 | 17.24 | 4 |
| 00182 | 21 27 | 52.521 | -25 24 | 47.53 | -0.087 | -0.170 | 0.016 | 4 | 0 | 16.40 | 1.1 |
| 00182 | 21 29 | 1.6.51 | -27 16 | 1.6.01 | 0.499 | -0.232 | 0.232 | 1.0 | 1 | 16.41 | 1.1 |
| 00182 | 21 32 | 2.566 | -9 16 | 36.10 | 0.113 | -1.051 | 0.012 | 1.0 | 6 | 16.35 | 1.1 |
| 00185 | 21 35 | 47.672 | -17 5 | 21.62 | 0.016 | -0.016 | 0.016 | 7 | 6 | 16.74 | 1.1 |
| 00185 | 21 37 | 1.5.110 | 1 54 | 44.97 | 0.020 | -0.21 | 0.006 | 10 | 5 | 15.91 | 1.0 |
| 00185 | 21 35 | 24.556 | -66 17 | 31.20 | 0.160 | 2.95 | 0.013 | 6 | 5 | 17.15 | 1.0 |
| 00185 | 21 43 | 6.268 | -47 36 | 1.03 | 0.113 | -0.42 | 0.012 | 7 | 6 | 16.45 | 2.3 |
| 00185 | 21 44 | 47.616 | -27 56 | 2.8.99 | -0.272 | -0.001 | 0.004 | 12 | 7 | 16.85 | 1.1 |
| 00185 | 21 41 | 4C. 754 | -76 48 | 2.2.99 | 1.1.61 | -0.41 | 0.041 | 6 | 4 | 17.23 | 1.0 |
| 00185 | 21 46 | 7.3.47 | 14 26 | 0.24 | 0.009 | -0.016 | 0.016 | 10 | 6 | 16.34 | 1.0 |
| 00185 | 21 26 | 4C. 165 | -45 25 | 0.20 | 0.011 | -1.05 | 0.024 | 1.0 | 1 | 16.41 | 1.0 |
| 00185 | 21 54 | 1C. 711 | -17 22 | 41.72 | -0.077 | 1.057 | -0.016 | 1.0 | 1 | 16.41 | 1.0 |
| 00185 | 21 56 | 17.171 | -61 0 | 16.13 | 0.400 | 0.400 | 0.001 | 5 | 5 | 16.41 | 1.0 |

| SISTEMA DE COORDENADAS PLANETARIAS (TRIGONOMETRICAS) | | | | | | | | | |
|--|------------|------------|-------------|---------|----------|---------|----------|---------|-----------|
| | RAZON | DEC. RA | DEC. DEC. | PM (RA) | PM (DEC) | (C-C)RA | (C-C)DEC | ERRORES | ERRORES |
| | RAZON | DEC. RA | DEC. DEC. | PM (RA) | PM (DEC) | ERRORES | ERRORES | RAZON | DEC. DEC. |
| 00921 | 23 45 42.5 | 15 45 55.5 | -16 16 14 | 0.120 | -0.039 | 7 | 7 | -0.45 | -0.60 |
| 00914 | 22 25 25.5 | 15 45 55.5 | -14 12 27.5 | 0.076 | 0.142 | 6 | 7 | 75.02 | 75.02 |
| 00914 | 22 32 25.5 | 15 45 55.5 | -7 15 0.5 | 0.110 | 0.010 | 11 | 7 | 75.02 | 75.02 |
| 00914 | 23 24 41.5 | 15 45 55.5 | -5 2 34.5 | -0.250 | -0.253 | 5 | 4 | 77.30 | 77.30 |
| 00915 | 22 31 44.5 | 15 45 55.5 | -4 31 44.5 | 0.349 | 0.044 | 5 | 7 | 76.25 | 76.25 |
| 00915 | 22 35 27.5 | 15 45 55.5 | -2 5 26.5 | 0.070 | 0.050 | 14 | 4 | 76.25 | 76.25 |
| 00915 | 22 41 16.5 | 15 45 55.5 | 2 1 56.5 | 0.071 | 0.051 | 7 | 6 | 76.25 | 76.25 |
| 00915 | 22 41 32.5 | 15 45 55.5 | -4 57 57.5 | 0.054 | -0.018 | 7 | 6 | 76.25 | 76.25 |
| 00920 | 22 44 26.5 | 15 45 55.5 | -2 8 31.5 | 0.253 | 0.250 | 11 | 4 | 76.25 | 76.25 |
| 00921 | 23 44 26.5 | 15 45 55.5 | -6 4 24.7 | 0.010 | -0.073 | 6 | 6 | -0.15 | -0.15 |
| 00921 | 23 44 26.5 | 15 45 55.5 | 1 492 | 2.65 | 0.008 | 5 | 7 | 76.25 | 76.25 |
| 00921 | 23 45 42.5 | 15 45 55.5 | -1 5 55.5 | 0.052 | -0.252 | 5 | 5 | 76.25 | 76.25 |
| 00921 | 23 45 42.5 | 15 45 55.5 | -1 5 55.5 | 0.051 | -0.259 | 11 | 4 | 76.25 | 76.25 |
| 00921 | 22 46 25.5 | 15 45 55.5 | -6 5 35.5 | 0.071 | -0.067 | 7 | 7 | 76.03 | 76.03 |
| 00921 | 22 51 42.5 | 15 45 55.5 | 1 45 21.0 | 0.127 | -1.04 | 10 | 7 | 76.34 | 76.34 |
| 00921 | 22 52 32.5 | 15 45 55.5 | -4 4 20.0 | 0.070 | -0.054 | 9 | 7 | 76.00 | 76.00 |
| 00921 | 22 54 24.5 | 15 45 55.5 | -3 6 55.5 | 0.100 | -0.26 | 7 | 5 | 76.12 | 76.12 |
| 00921 | 22 57 5.5 | 15 45 55.5 | -4 9 55.5 | 0.026 | 0.30 | 10 | 4 | 72.88 | 72.88 |
| 00921 | 23 58 15.5 | 15 45 55.5 | -5 5 49.5 | 0.157 | 0.20 | 12 | 5 | 76.12 | 76.12 |